

کشف زیر گرافهای متصل وب با استفاده از اتوماتای یادگیر توزیع شده

^۱راهبه مجتبهی صفاری؛ ^۲محمد رضا میبدی

چکیده

استفاده از تکنیک های داده کاوی به منظور استخراج اطلاعات از اسناد وب را کاوش وب می گویند. یک مسئله بینیادین در زمینه کاوش وب، کشف زیر گراف های متصل اطلاعاتی وب بر اساس درخواست کاربر می باشد. مسئله کشف زیر گراف های متصل وب، خصوصاً در مواردی که کاربر الگوریتم های کاوش وب را بر روی تنها بخشی از گراف وب اجرا می کند مؤثر است و منجر به هدایت بهتر کاربر در امر جستجو و پیشنهاد اسناد مشابه با یک سند بر اساس علاقه کاربر می گردد. در این مقاله از اتوماتای یادگیر توزیع شده برای حل مسئله کشف زیر گرافهای متصل وب استفاده می شود. برای این منظور در ابتدا یک الگوریتم مبتنی بر اتوماتای یادگیر توزیع شده برای تعیین ساختار ارتباطی بین اسناد وب پیشنهاد می گردد. الگوریتم پیشنهادی کشف ساختار در مقایسه با روش های موجود دارای کارایی بالاتر می باشد. در مرحله بعد با استفاده از ساختار ارتباطی حاصل و روش خوش بندی *k-means* یک الگوریتم جدید برای کشف زیر گرافهای متصل وب ارائه می گردد. الگوریتم پیشنهادی کشف زیر گراف متصل تنها بر روی خوش هایی که اسناد مورد درخواست کاربر را شامل می شوند، اجرا می گردد، بنابراین در مقایسه با روش های موجود دارای سرعت بالاتر می باشد. نتایج شبیه سازی ها نشان می دهد زیر گراف های به دست آمده از الگوریتم پیشنهادی کشف زیر گراف متصل، به دلیل استفاده همزمان از اطلاعات ساختار پیوندی و نحوه پیمایش کاربران در هنگام تعامل با وب، در مقایسه با روش های موجود کیفیت بالاتری دارند.

کلمات کلیدی

کشف زیر گراف متصل، اتوماتای یادگیر، اتوماتای یادگیر توزیع شده، خوش بندی *k-means* درجه ارزش.

Web Connection Subgraph Discovery Using Distributed Learning Automata

R. Mojtabaei Saffari; M. R. Meybodi

Abstract

Web mining is the use of data mining techniques to discover and extract information from the web documents. The connection subgraph discovery based on user's request is a fundamental issue in exploring the web. The connection subgraph discovery problem particularly when a user performs the web mining algorithms on only a part of the web graph, is efficient and leads to better user's navigation in search and proposes documents similar with the one that satisfy the user's interest. In this paper a solution based on distributed learning automata for discovering the web connection subgraph is proposed. For this propose in the first part of this paper an algorithm based on distributed learning automata for determining the structure of web documents is proposed. It is shown that the proposed algorithm has higher performance in comparison to existing methods. In the second part of this paper, a hybrid algorithm obtained by combining the algorithm proposed in the first part and k-means clustering method, a new algorithm for discovering the web connection subgraph is proposed. The proposed algorithm uses the clusters that only include requested user's documents and therefore has higher performance over the to existing methods. Simulation results have shown that the subgraphs generated by the proposed subgraph discovery algorithm because of using the link structure and user's navigation information of web documents at the same time, have higher quality in comparison to existing methods.

Keywords

Connection Subgraph Discovery, Learning Automata, Distributed Learning Automata, K-means Clustering, Nearness Score.

^۱. عضویات علمی دانشگاه آزاد اسلامی واحد لاهیجان، دانشکده برق و کامپیوتر، دانشگاه آزاد واحد لاهیجان، لاهیجان، ایران، mojtahedi@liau.ac.ir.

^۲. عضو هیأت علمی دانشگاه صنعتی امیرکبیر، دانشکده مهندسی کامپیوتر و فناوری اطلاعات، دانشگاه صنعتی امیرکبیر، تهران، ایران، meybodi@aut.ac.ir.

۱- مقدمه

یکی از مسائل مطرح در زمینه کاوش گراف وب، کشف زیرگرافهای متصل اطلاعاتی مبتنی بر پرس و جوی کاربر می‌باشد. مسأله به اینگونه است که کاربر درخواست خود را در قالب پرس و جو مطرح نموده و بر اساس نوع پرس و جو و الگوریتم به کار رفته برای کشف زیرگراف، زیرگرافی که قوی ترین اتصال در بین اسناد پرس و جوی آن وجود دارد، ایجاد می‌شود. به عبارت دیگر، هدف پیدا کردن اسناد میانی و مرکزی می‌باشد که به طور مستقیم و یا غیر مستقیم با تمام اسناد پرس و جو و یا بیشتر آنها در ارتباط قوی تر از سایر اسناد می‌باشند. از زیرگرافهای به دست آمده می‌توان جهت شناسایی اجتماعات گوناگون وب، هدایت بهتر کاربران در امر جستجو و پیشنهاد اسناد مشابه با یک سند بر اساس علاوه کاربر استفاده نمود، همچنین با استفاده از زیرگرافهای حاصل می‌توان الگوریتم‌های کاوش وب مبتنی بر پرس و جوی کاربر را سازماندهی نمود و در امر شخصی سازی وب به کار برد.

یکی از مسایل مهم در زمینه کشف زیرگراف‌های متصل تعیین معیار درجه ارزش بین دو سند کمیتی است که میزان ارتباط بین دو سند را مشخص می‌نماید. این معیار، ملاک ارزیابی در کشف قوی ترین اتصال در بین اسناد گراف به شمار می‌رود و در مقالات، با توجه به روش‌های گوناگون به کار رفته برای کشف زیرگراف متصل، به گونه‌های متفاوت تعریف می‌شود. تا کنون دو روش برای کشف زیرگرافهای متصل گزارش شده است، که بطور مستقیم به حل این مسئله می‌پردازند. روش اول که توسط *Christos Faloutsos* و همکارانش در سال ۲۰۰۴ ارائه شده است مسئله کشف زیرگرافهای متصل را به مسئله ماسکیمیم جریان در شبکه‌های الکترونیکی نگاشت می‌کنند^[۷]. در این روش ضمن در نظر گرفتن مفهوم حداقل جریان منتقله در طول مسیر^[۱۲]، مسیرهایی انتخاب می‌شوند که اسناد آن همپوشانی زیادی با اسناد موجود در مسیرهای انتخابی قبلی، دارند.

یکی از مشکلاتی که این روش دارد، این است که زیرگراف متصل را فقط به ازای هر دو سند پرس و جو پیدا می‌کند. همچنین در این روش زیرگراف به دست آمده، حساس به ترتیب قرارگیری اسناد پرس و جو می‌باشد، یعنی بسته به اینکه سند پرس و جوی انتخابی سند مبدأ یا مقصد باشد، زیرگراف تولید شده تغییر می‌کند. روش *Ceps*^[۷] مطرح شده و زیرگراف متصل بین چند سند پرس و جوی کاربر را پیدا می‌کند^[۱۸]. در این روش، از مفهوم احتمال حالت پایدار به منظور تعیین درجه ارزش بین دو سند استفاده می‌گردد. احتمال حالت پایدار، احتمالی است که یک عامل تصادفی در حین گردش تصادفی خود در گراف پس از رسیدن به یک سند خاص به دست می‌آورد^[۱۸, ۱۷]. در روش *Ceps*^[۷]، به منظور محاسبه احتمال حالت پایدار برای تمام اسناد موجود در گراف، از یک ماتریس ورودی که ساختار ارتباطی بین اسناد را نشان می‌دهد، استفاده می‌گردد. با افزایش تعداد اسناد وب سایز این ماتریس افزایش یافته و محاسبه احتمالات حالت پایدار دارای پیچیدگی زمانی بالایی می‌شود. بنابراین روش *Ceps* قابلیت گسترش بروی گرافهای بزرگ را دارا نمی‌باشد.

روشهای مطرح شده برای کشف زیرگرافهای متصل^[۱۸, ۷]، راه حلی است که بر روی گرافهای بدون جهت اجرا می‌شوند، همچنین در این روشهای تنها از اطلاعات ساختار پیوندی بین اسناد به منظور تعیین درجه ارزش بین اسناد استفاده می‌گردد. به منظور رفع این مشکلات، در روش پیشنهادی از اتماتای یادگیر توزیع شده برای حل مسئله کشف زیرگرافهای متصل استفاده می‌کنیم. در اتماتای یادگیر توزیع شده به هر سند یک اتماتای یادگیر تخصیص داده می‌شود، که در هر لحظه بر اساس ساختار پیوندی موجود در بین اسناد و نحوه استفاده کاربران از اسناد در هنگام تعامل با وب، ارتباطات بین اسناد را یاد می‌گیرد. روش پیشنهادی ضمن در نظر گرفتن جهت در الگوریتم پیشنهادی کشف زیرگراف متصل، به دلیل استفاده همزمان از اطلاعات ساختار پیوندی و اطلاعات استفاده کاربران از وب، زیرگرافهایی با کیفیت بالاتر و پیچیدگی زمانی پایین تر تولید می‌کند.

ادامه مقاله بدين صورت سازماندهی شده است: در بخش ۲، اتماتای یادگیر، اتماتای یادگیر توزیع شده و یک روش برای تعیین ساختار ارتباطی بین اسناد وب پیشنهاد می‌گردد. در بخش ۳، روش خوش بندی *k-means* مورد بررسی قرار می‌گیرد. در بخش ۴ الگوریتم پیشنهادی برای کشف زیرگرافهای متصل جهتدار مطرح می‌گردد. در بخش ۵ نتایج شبیه سازیها مطرح شده است. بخش پایانی شامل نتیجه گیری می‌باشد.

۲- اتماتاهای یادگیر

اتماتای یادگیر یک مدل انتزاعی است که به طور تصادفی یک عمل از مجموعه متناهی اعمال خود را انتخاب کرده و بر محیط اعمال می‌کند. محیط عمل انتخاب شده توسط اتماتای یادگیر را ارزیابی کرده و نتیجه ارزیابی خود را توسط یک سیگنال تقویتی به اتماتای یادگیر اطلاع می‌دهد. سپس اتماتای یادگیر با اطلاع از عمل انتخاب شده و سیگنال تقویتی، وضعیت داخلی خود را بروز کرده و عمل بعدی خود را انتخاب می‌کند. محیط را می‌توان توسط سه $E = \{\alpha, \beta, \gamma\}$ نشان داد که در آن $\alpha = \{\alpha_1, \alpha_2, \dots, \alpha_r\}$ مجموعه

ورودی ها، $\beta = \{\beta_1, \beta_2, \dots, \beta_r\}$ مجموعه خروجیها و $c = \{c_1, c_2, \dots, c_r\}$ مجموعه احتمالات جریمه می‌باشد. c_i نشان دهنده احتمال نامطلوب بودن سیگنال تقویتی محیط در پاسخ به عمل α_i می‌باشد. در یک محیط ایستا مقادیر c_i ها ثابت هستند، حال آنکه در یک محیط غیر ایستا این مقادیر در طی زمان تغییر می‌کنند. بر اساس اینکه تابع به روز رسانی وضعیت اتوماتای یادگیر (که با اطلاع از عمل انتخاب شده و سیگنال تقویتی β ، وضعیت بعدی اتوماتای یادگیر را محاسبه می‌کند) ثابت یا متغیر باشد، اتوماتای یادگیر به دو دسته اتوماتای یادگیر با ساختار ثابت و اتوماتای یادگیر با ساختار متغیر تقسیم می‌گردد. شکل ۱ یک اتوماتای یادگیر تصادفی را نمایش می‌دهد.



شکل ۱: اتوماتای یادگیر تصادفی

در این مقاله از اتوماتای یادگیر با ساختار متغیر استفاده شده است که در ادامه معرفی می‌شود. اتوماتای یادگیر با ساختار متغیر توسط چهارتایی $\{a, \beta, p, T\}$ نشان داده می‌شود که در آن $a = \{a_1, a_2, \dots, a_r\}$ مجموعه اعمال اتوماتای یادگیر، $\beta = \{\beta_1, \beta_2, \dots, \beta_r\}$ مجموعه ورودی های اتوماتای یادگیر، $p = \{p_1, p_2, \dots, p_r\}$ بردار احتمال انتخاب هر یک از عمل ها و $T = T[\alpha(n), \beta(n), p(n)]$ الگوریتم یادگیری اتوماتای یادگیر می‌باشد. الگوریتمهای یادگیری متنوعی برای اتوماتای یادگیر ارائه شده است که در ادامه یک الگوریتم یادگیری خطی برای اتوماتای یادگیر بیان می‌گردد. فرض کنید اتوماتای یادگیر در مرحله n اقدام a خود را انتخاب نموده و محیط ارزیابی خود را توسعه سیگنال تقویتی $\beta(n)$ به اتوماتای یادگیر اعلام کند. با استفاده از الگوریتم یادگیری خطی، اتوماتای یادگیر بردار احتمال انتخاب اقدام های خود را مطابق روابط ۱ بروز می‌کند.

$$p_i(n+1) = p_i(n) + a \cdot (1 - \beta(n)) \cdot (1 - p_i(n)) - b \cdot \beta(n) \cdot p_i(n) \quad (1)$$

$$p_j(n+1) = p_j(n) + a \cdot (1 - \beta(n)) \quad \text{if } j \neq i \\ p_j(n) + \frac{b \cdot \beta(n)}{r-1} - b \cdot \beta(n) \cdot p_j(n)$$

در رابطه بالا، a پارامتر پاداش و b پارامتر جریمه می‌باشد. اگر a و b با هم برابر باشند، الگوریتم L_{R-P} ، اگر b از a خیلی کوچکتر باشد، الگوریتم L_{REP} و اگر b صفر باشد، الگوریتم L_{R-I} نام دارد. اتوماتای یادگیری که در بالا معرفی شد، دارای تعداد اقدام های ثابتی می‌باشد. در بعضی از کاربردها به اتوماتای یادگیر با تعداد اقدام متغیر نیاز می‌باشد [۱۶].

یک اتوماتای یادگیر با تعداد اقدام متغیر، در لحظه n اقدام خود را از یک زیر مجموعه غیر تهی از اقدامها بنام مجموعه اقدام های فعال $V(n)$ انتخاب می‌کند. انتخاب مجموعه اقدام های فعال اتوماتای یادگیر $V(n)$ توسعه یک عامل خارجی و به صورت تصادفی انجام می‌شود. نحوه فعالیت این اتوماتای یادگیر به صورت زیر است. اتوماتای یادگیر برای انتخاب یک اقدام در زمان n ، ابتدا مجموع احتمال اقدام های فعال خود ($K(n)$) را محاسبه و بردار (n) را مطابق رابطه (۲) ایجاد می‌کند. آنگاه اتوماتای یادگیر یک اقدام از مجموعه اقدام های فعال خود را به صورت تصادفی و بر اساس بردار احتمال (n) $\hat{P}(n)$ انتخاب کرده و بر محیط اعمال می‌کند. در یک اتوماتای یادگیر با الگوریتم یادگیری خطی، اگر اقدام انتخاب شده α_i باشد، اتوماتای یادگیر پس از دریافت پاسخ محیط، بردار احتمال (n) $\hat{P}(n)$ اقدام های خود را در صورت دریافت پاسخ مطلوب بر اساس رابطه (۴) و در صورت دریافت پاسخ نامطلوب مطابق رابطه (۵) بروز می‌کند. سپس اتوماتای یادگیر بردار احتمال اقدام های خود $P(n)$ را با استفاده از بردار (۴) و طبق رابطه (۶) بروز رسانی می‌کند.

$$K(n) = \sum_{\alpha_i \in V(n)} p_i(n) \quad (2)$$

$$\hat{P}_i(n) = prob[\alpha(n) = \alpha_i | \alpha_i \in V(n)] = \frac{p_i(n)}{K(n)} \quad (3)$$

که در فرمول بالا منظور از $V(n)$ تعداد اقدام های فعال می‌باشد.

در صورت پاسخ مطلوب:

$$\hat{P}_i(n+1) = \hat{P}_i(n) + a_i \cdot (1 - \hat{P}_i(n)) \\ j \neq i \quad \forall j \quad \hat{P}_j(n+1) = \hat{P}_j(n) - a_i \cdot \hat{P}_j(n) \quad (4)$$

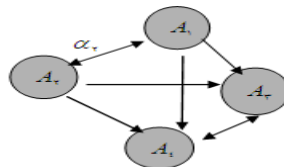
در صورت پاسخ نامطلوب:

$$\begin{aligned} \hat{p}_i(n+1) &= (1-b)\hat{p}_i(n) & \alpha(n) &= \alpha \\ \hat{p}_j(n+1) &= \frac{b}{r-1} + (1-b)\hat{p}_j(n) & \alpha(n) &= \alpha_j, \quad \forall j \neq i \end{aligned} \quad (5)$$

$$\begin{aligned} i, \alpha_i &\in V(n) \text{ for all } P_i(n+1) = \hat{P}_i(n+1).K(n) \\ P_j(n+1) &= P_j(n) \quad j, \alpha_j \notin V(n) \end{aligned} \quad (6)$$

۱-۲ - اتوماتاهای یادگیر توزیع شده

اتوماتای یادگیر توزیع شده شبکه‌ای از چند اتوماتای یادگیر است که برای حل یک مساله مشخص با یکدیگر همکاری می‌کنند. یک اتوماتای یادگیر توزیع شده را می‌توان به صورت یک گراف جهت‌دار نمایش داد، به صورتیکه مجموعه گره‌های آن را مجموعه‌ای از اتوماتاهای یادگیر و بالهای خروجی هر گره مجموعه اعمال متناظر با اتوماتای یادگیر متناظر با آن گره است. هنگامی که اتوماتا یکی از اعمال خود را انتخاب می‌کند، اتوماتایی که در دیگر انتهای یال متناظر با آن عمل قرار دارد، فعال می‌شود. در هر لحظه فقط یک اتوماتای یادگیر در اتوماتای یادگیر توزیع شده فعال می‌باشد. به عنوان مثال در شکل ۲، یک اتوماتای یادگیر توزیع شده با چهار اتوماتای یادگیر را نشان می‌دهد. برای اطلاعات بیشتر درباره اتوماتای یادگیر توزیع شده می‌توان به مراجع [۱۶, ۱۵, ۳]، مراجعه کرد.



شکل ۲: اتوماتای یادگیر توزیع شده

۲-۲ - الگوریتم پیشنهادی تعیین ساختار ارتباطی اسناد وب با استفاده از اتوماتای یادگیر توزیع شده

به منظور تعیین ساختار اسناد وب، یک اتوماتای یادگیر توزیع شده متناظر با اسناد وب ایجاد می‌کنیم. در روش پیشنهادی، اسناد وب و کاربران استفاده کننده از آن نقش یک محیط تصادفی را برای اتوماتاهای یادگیر موجود در اتوماتای یادگیر توزیع شده ایفا می‌کنند. خروجی یک اتوماتای یادگیر توزیع شده، یک دنباله از اسناد وب مرور شده توسط یک کاربر هستند که مسیر حرکت کاربر را به سمت سند وب مورد نظر نشان می‌دهد. محیط با استفاده از این دنباله، پاسخی برای اتوماتای یادگیر توزیع شده تولید کرده و با استفاده از این پاسخ، ساختار داخلی اتوماتای یادگیر در اتوماتای یادگیر توزیع شده، طبق الگوریتم یادگیری بروز می‌شود.

در این مقاله برای تعیین ساختار ارتباطی بین اسناد وب، در یک شبکه با n سند، از یک اتوماتای یادگیر توزیع شده با n اتوماتای یادگیر و تعداد اقدامهای متغیر [۱۶]، که هر یک حداکثر n -اقدام دارند، استفاده می‌شود. برای هر اتوماتای یادگیر در هر زمان تنها زیرمجموعه‌ای از اقدامهاییش فعال و می‌تواند قابل استفاده باشد [۱۶]. در ابتدای کار تمامی اقدامهای اتوماتای یادگیر در اتوماتای یادگیر توزیع شده غیر فعال می‌باشند. با استفاده از اطلاعات ذخیره شده در لاغ فایل کاربران که مسیر حرکت کاربران را به هنگام ورود به شبکه تا زمان خروج، در خود ثبت می‌کند، اتوماتاهای یادگیر موجود در اتوماتای یادگیر توزیع شده فعال می‌شوند. با ورود کاربر به شبکه و حرکت آن از سند i به سند j اقدام ز از اتوماتای متناظر با سند i فعال شده و به مجموعه اقدامهای فعال اتوماتای i اضافه می‌گردد، سپس اتوماتای i یک اقدام از مجموعه اقدامهای فعال خود را به طور تصادفی انتخاب می‌نماید، در صورتیکه اقدام انتخاب شده توسط اتوماتای i متناظر با سند j (همان سندی که کاربر در لاغ فایل بعد از سند i مشاهده می‌کند) باشد، پاسخ محیط مطلوب است و اتوماتای i به اقدام انتخابی خود پاداش می‌دهد، در غیر این صورت پاسخ محیط نامطلوب بوده و اتوماتای i باید اقدام انتخابی را به میزان پارامتر b طبق الگوریتم یادگیری جریمه نماید. در بخش شبیه سازیها نشان خواهیم داد که الگوریتم یادگیری L_{RI} در اجرای الگوریتم پیشنهادی تعیین ساختار، نسبت به سایر الگوریتمهای یادگیری، دارای کارایی بالاتر است. بنابراین در آزمایشها مقدار پارامتر جریمه (b) را صفر در نظر می‌گیریم، همچنین ضریب پاداش دریافتی توسط اقدام انتخابی اتوماتا، در هر مرحله بر اساس اطلاعات لاغ فایل کاربران بطور پویا تعیین می‌گردد. روند اجرای الگوریتم پیشنهادی به صورت شکل ۳ می‌باشد.

۱- یک اتوماتای یادگیر توزیع شده متناظر با ساختار اسناد وب ایجاد کن

۲- بردار احتمالات اتوماتاهای یادگیر موجود در اتوماتای یادگیر توزیع شده را مقدار دهی اولیه کن.

۳- تمام اقدامهای اتوماتاهای یادگیر موجود در اتوماتای یادگیر توزیع شده غیر فعال می‌باشند.

-۴- به ازای هر کاربر موجود در لاگ فایل انجام بده

-۳- به ازای هر حرکت به صورت $n \rightarrow m$ در طول مسیر انجام بده

-۱-۱-۳- مجموعه اقدامهای فعال اتوماتی متناظر با سند m را بروز کن.

-۲-۱-۳- بردار احتمال اتوماتی متناظر با سند m را مطابق روابط زیر بروز کن.

در صورتیکه اقدام انتخابی اتوماتی m ، اقدام n باشد (پاسخ محیط مطلوب)

$$\hat{P}_n^m(n+1) = \hat{P}_n^m(n) + a_n^m(n) \cdot (1 - \hat{P}_n^m(n))$$

$$\hat{P}_k^m(n+1) = \hat{P}_k^m(n) - a_n^m(n) \cdot \hat{P}_k^m(n) \quad \forall k \quad k \neq n$$

$$a_n^m(n) = \frac{\hat{P}_n^m(n)}{\hat{P}_n^m(n) + 1}$$

در غیر اینصورت (پاسخ محیط نامطلوب) بردار احتمال اتوماتی متناظر با سند m در لحظه $n+1$ تغییری نمی‌کند.

شکل ۲: الگوریتم پیشنهادی تعیین ساختار ارتباطی استاد و بیشتری دریافت می‌کنند. تحلیم اتوماتیک ضریب پاداش سبب می‌شود که با افزایش تعداد استاد و بیانز به تنظیم مجدد ضریب پاداش نداشته باشیم. فرق الگوریتم پیشنهادی با الگوریتم‌های پیشنهادی بر اتوماتیک یادگیر توزیع شده [۱۵, ۲, ۱]، در نحوه عملکرد اتوماتاهای یادگیر در اتوماتیک یادگیر توزیع شده می‌باشد. در تمام الگوریتم‌های موجود، هر اتوماتا برای انتخاب عمل خود به لاگ فایل کاربران نگاه می‌کند و در هر مرحله همان اقدامی را انتخاب می‌کند که کاربر از آن عبور می‌کند و به این ترتیب تمام اسنادی که در طول مسیر حرکت کاربر می‌باشند، پاداش می‌گیرند. در تمام الگوریتم‌های موجود، عملکرد انتخاب اقدامهای اتوماتا قابل پیش‌بینی و بر اساس مدل حرکات کاربر است، اما در الگوریتم پیشنهادی، اتوماتیک یادگیر در هر لحظه به صورت تصادفی اقدام خود را از میان مجموعه اقدامهای فعال انتخاب نموده و عمل بروزرسانی مقدار احتمال این اقدام را بر اساس مراجعته به لاگ فایل و مقایسه با آن، انجام می‌دهد. ویژگی دیگر الگوریتم مطرح شده این است که در آن فرآیند محاسبه دور مانند [۱۵] وجود ندارد و به همین دلیل در مقایسه با الگوریتم پیشنهادی [۱۵] دارای سربار محاسباتی کمتری می‌باشد.

۳- روش خوشبندی k -means

الگوریتم k -means معمولی‌ترین روش خوشبندی می‌باشد، که توسط Mac Queen در سال ۱۹۶۷ ارائه شد. نامگذاری این الگوریتم بر گرفته از این نکته است که این روش، به صورت اتوماتیک یک مجموعه با n داده در فضای d بعدی را در داخل k گروه خوشبندی می‌کند. این الگوریتم در ابتدا k مرکز خوشه را به طور تصادفی از میان n داده انتخاب نموده و فاصله بین هر داده و مرکز خوشه ها را، توسط یکتابع هدف تعیین می‌نماید. به عنوان مثال می‌توان ازتابع L_2 -norm که جمع توان های خطای بین داده ها و مراکز خوشه های آنها (واریانس داخلی خوشه) را تعریف می‌کند، به عنوان تابع هدف استفاده کرد. روند کلی اجرای این الگوریتم به صورت زیر است.

$$E(c) = \sum_{j=1}^k \sum_{x_i \in C_j} \|x_i - c_j\|^2 \quad (7)$$

۱- مرکز خوشه را انتخاب کن.

۲- تمام داده ها را به نزدیکترین خوشه منتسب کن.

۳- مرکز خوشه ها را دوباره محاسبه کن.

۴- مراحل ۲ و ۳ را تازمانیکه مرکز خوشه ها تغییر نکند، تکرار کن.

شکل ۴: الگوریتم کلی روش k -means

داده هایی که در این مقاله از آنها استفاده می‌شود، به صورت عددی است و تعداد آنها زیاد می‌باشد، بنابراین از روش خوشبندی k -means برای خوشبندی استفاده می‌کنیم. برای مطالعه بیشتر در مورد روش‌های موجود برای خوشبندی می‌توان به مراجع [۱۹, ۱۱, ۱۰, ۹, ۶, ۴] مراجعه کرد.

۴- الگوریتم پیشنهادی برای کشف زیر گراف متصل جهتدار با استفاده از اتوماتای یادگیر توزیع شده

زمان اجرای الگوریتمهای موجود برای کشف زیر گراف متصل، در مورد گرافهای بسیار بزرگ، طولانی می‌باشد. روش ارائه شده در این بخش، کوششی در جهت رفع این مشکل می‌باشد. بنابراین با خوشه‌بندی گراف اصلی و اجرای الگوریتم کشف زیر گراف متصل تنها بر روی خوشه‌هایی که شامل اسناد پرس و جو می‌باشند، می‌توان به میزان قابل توجهی زمان پاسخ را کاهش داد. بنابراین با استفاده از روش خوشه‌بندی $k\text{-means}$ و ساختار ارتباطی به دست آمده از بخش ۲-۲، الگوریتم پیشنهادی برای کشف زیر گراف متصل را ارائه می‌کنیم. الگوریتم پیشنهادی، در واقع فرم اصلاح شده روش *Ceps* می‌باشد [۱۸]، با این تفاوت که در الگوریتم پیشنهادی برای کشف زیر گراف متصل مسئله جهتدار بودن را در محاسبه درجه ارزش بین اسناد لحاظ می‌کنیم. به منظور اینکه الگوریتم پیشنهادی بر روی گرافهای جهتدار قابل اجرا باشد، اسناد پرس و جو را به دو دسته اسناد پرس و جوی مبدأ و مقصد تقسیم بندی می‌کنیم، بنابراین از آرایه ای بنام *Flag* برای نگه داری اطلاعات مربوط به اسناد پرس و جو استفاده می‌گردد. در این آرایه اسناد پرس و جوی مبدأ و مقصد به ترتیب مقادیر ۱+۰-۱ را دارا می‌باشند. با دریافت اطلاعات این آرایه توسط کاربر، زیر گراف متصل جهتدار متناسب با پرس و جوی کاربر تولید می‌گردد.

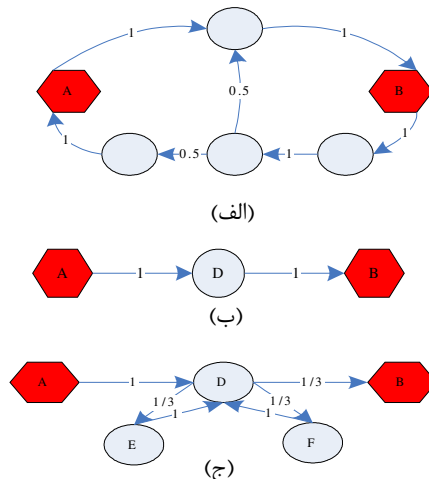
همانطور که بیان شد محاسبه درجه ارزش بین دو سند مهمترین معیار، در کشف زیر گرافهای متصل می‌باشد. در الگوریتم پیشنهادی کشف زیر گراف متصل برخلاف روشهای از مفهوم احتمال گریز برای محاسبه درجه ارزش بین اسناد استفاده می‌کنیم. احتمال گریز از سند i به سند j احتمالی است که یک ذره تصادفی باشروع از سند i ، قبل از اینکه دوباره به سند i برگردد، سند j را ملاقات کند و به صورت زیر تعریف می‌گردد.

$$ep_{i,j} = \sum_{k=1}^n c \times p_{i,k} \times v_k(i, j) \quad (8)$$

$$V_k(i, j) = \sum_{t=1}^n c \times P(k, t) \times V_t(i, j) \quad k \neq i, j \quad V_i(i, j) = 0, \quad V_j(i, j) = 1 \quad (9)$$

در رابطه (۹)، $v_k(i, j)$ احتمال رفتن ذره تصادفی از سند k به سند j است، قبل از اینکه به سند i برگردد. منظور از $p_{i,k}$ احتمال انتقال مستقیم از سند i به سند k می‌باشد. c ضریب تعدیل است و دارای مقداری بین صفر و یک است.

عنوان مثال در شکل ۵-الف با احتساب $c=0.9$ احتمال گریز از سند A به سند B و برعکس بترتیب برابر با ۰.۸۱ و ۰.۴۰۵ می‌باشد. در شکل‌های ۵-ب و ۵-ج احتمال گریز از سند A به سند B به ترتیب برابر با ۰.۷۴ و ۰.۰۸۱ می‌باشد. این مقادیر نشان می‌دهند که مسیرهای طولانی‌تر دارای اتصالات ضعیفتر می‌باشند.



شکل ۵: مقایسه احتمال گریز از گره A به B و برعکس

اگر از روش مستقیم حل رابطه (۸) استفاده کنیم باشد رابطه (۸) را به یک دستگاه معادلات خطی تبدیل نماییم [۵] و سپس با حل مستقیم این معادله مسئله حل می‌گردد. استفاده از این روش برای گرافهای بزرگ که حاوی صدها هزار سند می‌باشند بدلیل نیاز

به محاسبه معکوس ماتریس ارتباطات بین استناد، بسیار زمانگیر و حتی غیر ممکن است، همچنین باید به این نکته توجه کرد که به منظور محاسبه درجه ارزش بین تمام استناد، لازم است که معکوس ماتریس های متفاوتی را محاسبه نماییم، به عبارت دیگر اگر در گراف n سند وجود داشته باشد، به منظور محاسبه درجه ارزش بین تمام استناد گراف نیاز به محاسبه معکوس $(n-1) \times n$ ماتریس داریم. بنابراین این روش محاسبه، برای گراف های بزرگ مانند وب بدست آمده از بخش ۲ و مفهوم احتمال گریز، رابطه پیشنهادی برای محاسبه درجه ارزش بین دو سند به صورت زیر است.

$$\text{Nearness}(LA_i, LA_j) = \sum_{k=1}^n c \times \text{Nearness}(LA_k, LA_j) \times P(LA_i, k) \quad k \neq i \quad (10)$$

$$\text{Nearness}(LA_i, LA_i) = 0$$

$$\text{Nearness}(LA_j, LA_j) = 1$$

در رابطه فوق، اتماتای یادگیر با شماره i یک سند و ب مثل j به صورت LA_i و مقدار احتمال انتخاب اقدام k در اتماتای LA_j به صورت $P(LA_i, k)$ ، نشان داده شده است، که مقدار این احتمال، درایه ای از ماتریس ارتباطات است، که از الگوریتم پیشنهادی برای تعیین ساختار که در بخش ۲-۲ مطرح شده است، به دست می آید. چنانچه اقدام مربوطه در اتماتایی وجود نداشته باشد، مقدار احتمال آن اقدام صفرخواهد بود (معنی $= 0$). پارامتر n تعداد استناد و ب می باشد. برای حل این نوع معادلات بازگشتی، می توان از روش های عددی استفاده کرد. ما به منظور به دست آوردن کارایی بالاتر نسبت به روش برنامه نویسی پویا، برای حل مسئله استفاده می کنیم. با استفاده از اطلاعات نحوه پیمایش کاربران در هر مرحله بردار احتمال اتماتای یادگیر مربوط به هر سند، بروز می شود و با استفاده از این بردار در هر مرحله درجه نزدیکی بین هر دو سند به صورت بازگشتی محاسبه میگردد. به منظور پیاده سازی این روش، ابتدا ماتریس $\text{Nearness}^{(0)}$ را با ساختار ارتباطی که در بخش ۲-۲، به دست آوردهایم، مقدار دهی اولیه می کنیم. سپس با توجه به رابطه (10)، درجه ارزش بین دو سند و ب به صورت بازگشتی، از روی درجه ارزش سایر اتماتاهایی که در طول مسیر این دو سند قرار دارند، به دست می آید. به این ترتیب در هر مرحله درایه های ماتریس Nearness بروز رسانی می شود. به عبارت دیگر در هر مرحله از روی مقدایر ماتریس $\text{Nearness}^{(k)}$ که $0 \leq k < n$ می باشد، مقدایر ماتریس $\text{Nearness}^{(k+1)}$ ، محاسبه می شود. این روند تا زمانی ادامه می یابد که درجه ارزش بین تمام استناد محاسبه شود. سرعت این روش در مقایسه با روش مستقیم بالاتر است و نتایج آن در بخش شبیه سازی نشان داده شده است. با استفاده از مقدایر درجه ارزش بین استناد، الگوریتم پیشنهادی کشف زیر گراف متصل جهتدار در شکل ۶ نشان داده شده است.

- ۱- یک اتماتای یادگیر توزیع شده متناظر با ساختار ارتباطی ارائه شده در بخش ۲-۲ ایجاد کن.
- ۲- مجموعه استنادپرس وجو $\{Q = \{q_1, q_2, \dots, q_Q\}\}$ ، حداکثر تعداد استناد میانی (b) ، آرایه $Flag = [f_1, f_2, \dots, f_Q]$ و تعداد خوشه ها را از ورودی دریافت کن.
- ۳- الگوریتم خوشه بندی $kmeans$ را روی ساختار ارتباطی حاصل اجرا کن.
- ۴- خوشه هایی را که شامل استناد پرس وجو هستند را انتخاب کن و با این خوشه ها ساختار جدید را ایجاد کن.
- ۵- به ازای هر سند پرس وجوی $q_i \in Q$
- ۶- برای هر سند j موجود در ساختار ارتباطی
- ۷- اگر $f_{q_i} = +1$ باشد، $\text{Nearness}(q_i, j)$ را محاسبه کن.
- ۸- در غیر اینصورت، $\text{Nearness}(j, q_i)$ را محاسبه کن.
- ۹- را به صورت رابطه زیر به دست می آوریم:

$$\text{Nearness}(Q, j) = \prod_{i=q_1}^{i=q_Q} \text{Nearness}(i, j)$$

- ۱۰- زیر گراف خروجی را با مقدار خالی مقدار دهی اولیه می کنیم.
- ۱۱- تازمانیکه زیر گراف خروجی از سایز در نظر گرفته شده کوچکتر است:
- ۱۲- گره مقصد pd را به صورت زیر انتخاب کن:

$$pd = \arg \max_{j \in H} \text{Nearness}(Q, j)$$

۱-۲-۲- به ازای هر گره پرس وجوی q_i

۱-۲-۱-۸ اگر $f_{q_i} = +1$ باشد، یک مسیر از سند پرس

وجوی q_i به سند مقصد pd را پیدا کن.

در غیر این صورت یک مسیر از سند pd به سند پرس

وجوی q_i را پیدا کن.

۱-۲-۱-۸ مسیر را به زیر گراف اضافه کن.

شکل ۶: الگوریتم پیشنهادی برای کشف زیر گراف متصل جهتدار با استفاده از اتوماتای یادگیر توزیع شده

به منظور پیدا کردن یک مسیر بین سند پرس وجو q_i و سند مقصد pd ، باید تمام استاد موجود در گراف را بر اساس مقادیر نزولی $Nearness(q_i, j) \forall j (j = 1, 2, \dots, n)$ مرتب نماییم. از تمام مقادیر کمتر از $Nearness(q_i, pd)$ صرفه نظر می کنیم. در الگوریتم پیشنهادی کشف مسیر، بر خلاف روش‌های بکار رفته [۷، ۱۸]، برای انتخاب یک سند علاوه بر ساختار پیوندی بین استاد به نحوه استفاده و پیمایش کاربران در هنگام تعامل با استاد وب توجه می شود. نحوه پیدا کردن مسیر بین سند پرس وجو و سند مقصد بر اساس الگوریتم پیشنهادی شکل ۷ می باشد.

۱- فرض میکنیم که ماکسیمم طول مسیر مجاز $maxlength$ باشد.

۲- به ازای هر سند $(j = 1, 2, \dots, n)$ موجود در گراف

$len = [2, \dots, max_length]$

اگر سند j در زیر گراف خروجی وجود دارد، $len' = len$

در غیر اینصورت $len' = len - 1$

$$Extract_{len}(q_i, u_j) = \max_{u|u \rightarrow u_j} (Extract_{len'}(q_i, u) + \prod_{i=1}^{i=Q} Nearness(q_i, u_i))$$

۳- مسیری انتخاب می شود که دارای ماکسیمم مقدار برای عبارت زیر باشد.

$$\frac{Extract_{len}(q_i, pd)}{len} \quad len \neq 0$$

شکل ۷: الگوریتم کشف مسیر بین سند پرس وجو و سند مقصد pd

۵- نتایج شبیه سازیها

در این بخش ابتدا مدل شبیه سازی بطور مختصر ارائه می شود، سپس نتایج به دست آمده از الگوریتمهای پیشنهادی مورد بررسی قرار می گیرد.

۵-۱- مدل شبیه سازی

به منظور انجام شبیه سازیها از مجموعه داده های مدل مطرح شده در [۱۳] استفاده می کنیم. اعتبار این مدل توسط Liu و همکاران با استفاده از اطلاعات به دست آمده از چندین وب سایت بزرگ مانند مایکروسافت تأیید شده است. در این مدل، گراف وب و کاربران بر اساس توزیع های آماری، شبیه سازی می شوند و بر این اساس، در این مقاله پروفایل علاقه کاربران به صورت توزیع قانونی- توانی و توزیع محتوای استاد وب، به صورت توزیع نرمال در نظر گرفته شده است. هر سند وب در این مدل با یک بردار محتوا نمایش داده می شود. طول این بردار برابر با تعداد موضوعات موجود در سیستم است. هر عضو این بردار، میزان ارتباط سند متناظر با آن بردار را با یکی از موضوعات موجود نشان می دهد (رابطه ۱). با استفاده از بردار محتوای دو سند i, j ، فاصله اقلیدسی بین دو سند $(d_{i,j})$ ، طبق رابطه (۱۲) محاسبه می شود. سایر پارامتر های استفاده شده در مدل [۱۳] برای شبیه سازیهای انجام شده در این مقاله در جدول انشان داده شده است.

$$C_n = \{cw_n^1, cw_n^2, \dots, cw_n^M\} \quad (11)$$

$$d_{ij} = \sqrt{\sum_{k=1}^{k=M} (cw_i^k - cw_j^k)}$$
(۱۲)

جدول ۱: پارامترهای شبیه سازی استفاده شده در الگوریتم پیشنهادی تعیین ساختار و ب

| | |
|------|---|
| ۰.۷ | حد آستانه اتصال |
| ۲۰ | تعداد اسناد |
| ۲۰۰۰ | تعداد کاربران |
| ۵ | تعداد موضوعات |
| ۰.۲ | مقدار ثابت سند اولیه در موضوعات مختلف T_c |
| - | ضریب ثابت کاهش اشتیاق کاربر ΔM_t^c |
| - | ضریب متغیر کاهش اشتیاق کاربر ΔM_t^v |
| ۱ | پارامتر توزیع قانون - توانی توزیع احتمال α_u |
| | علایق کاربران |
| ۱.۲ | ضریب پاداش دریافتی از مشاهده یک سند ϕ |
| ۰.۵ | ضریب جذب اطلاعات از یک سند توسط یک کاربر λ |
| ۵.۹۷ | میانگین توزیع نرمال ΔM_m^v |
| ۰.۲۵ | واریانس توزیع نرمال ΔM_m^v |
| - | میانگین توزیع نرمال برای مقدار افزایش یک گره برای یک موضوع خاص |
| ۳ | پارامتر توزیع قانون - توانی توزیع احتمالهای وزنهای مطالب برای هر سند α_p |
| ۰.۲۵ | واریانس توزیع نرمال برای مقدار افزایش یک گره برای یک موضوع خاص |
| ۱ | ضریب کاهش علاقه کاربر θ |
| ۰.۲ | حداقل اشتیاق کاربر برای ادامه جستجو |

۵-۲- ارزیابی کارایی الگوریتم پیشنهادی تعیین ساختار ارتباطی اسناد و ب

به منظور ارزیابی کارایی الگوریتم پیشنهادی تعیین ساختار ارتباطی بین اسناد و ب و مقایسه آن با سایر روش‌های موجود، از معیاری به نام کوروولیشن استفاده می‌کنیم. میزان همبستگی خطی بین داده‌ها را مشخص می‌کند. کوروولیشن دو مجموعه داده P و P' طبق رابطه (۱۶) محاسبه می‌شود. در این رابطه، N تعداد داده هاست. مجموعه P ساختار ایجاد شده در حالت ایده آل و P' ساختار ایجاد شده توسط الگوریتم پیشنهادی، است. در ساختار ارتباطی ایده آل از عکس فاصله اقلیدسی بین دو سندجهت تعیین ارتباط بین دو سند استفاده شده است. مقدار کوروولیشن بین صفر تا یک تغییر می‌کند، هرقدر میزان کوروولیشن دوممجموعه داده به عدد یک نزدیکتر باشد این دوممجموعه همبستگی بیشتری به هم دارد.

$$p = \{ p_{ij} \mid i, j = 1, 2, 3, \dots, n, \quad i \neq j \}$$
(۱۳)

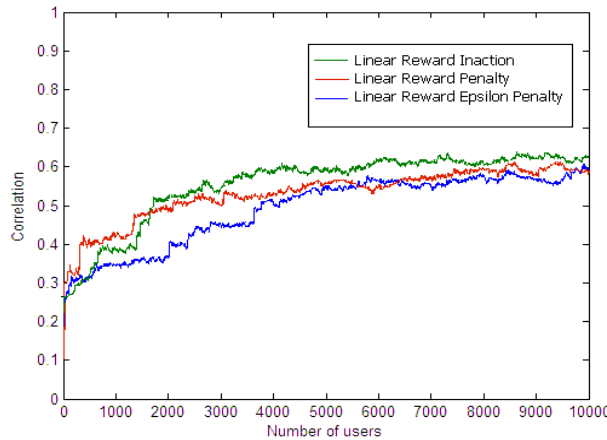
$$p_{ij} = \frac{(d_{ij})^{-1}}{\sum_{k=1}^{k=n} (d_{ik})^{-1}}$$
(۱۴)

$$p' = \{p'_{ij} | i, j = 1, 2, 3, \dots, n, \quad i \neq j\} \quad (15)$$

p'_{ij} احتمال انتخاب اقدام زام از اتوماتای i است، در صورتیکه این اقدام غیر فعال باشد مقدار این احتمال صفر می باشد.

$$\text{Corr}(P, P') = \frac{\sum PP' - (\sum P \sum P') / N}{\sqrt{(\sum P^2 - (\sum P)^2) / N} (\sum P' - (\sum P')^2 / N)} \quad (16)$$

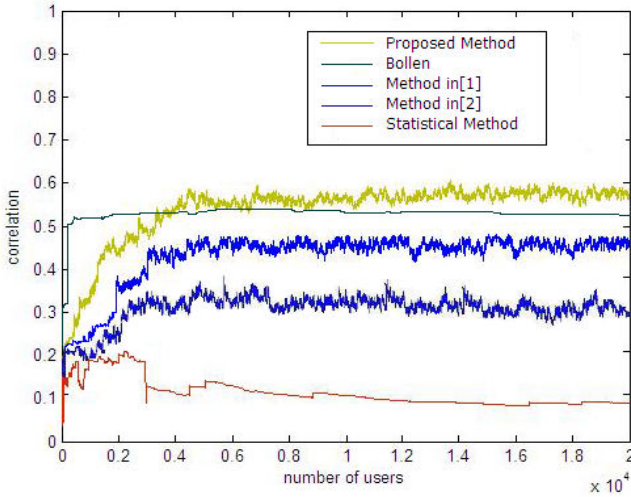
قبل از ارزیابی کلارایی الگوریتم پیشنهادی تعیین ساختار، به مقایسه الگوریتمهای یادگیری استندارد L_{REP} و L_{RI} ، در اجرای الگوریتم پیشنهادی تعیین ساختار می پردازیم. برای این منظور شبکه ای شامل ۲۱ سند در نظر گرفتیم. تعداد موضوعات موجود در سیستم و پارامترهای یادگیری b و a را بترتیب ۵، ۰.۰۵ و ۰.۰۱ تعریف نمودیم. کورویشن ساختار ارتباطی پیشنهادی و ساختار ایده آل به ازای هر الگوریتم یادگیری تا تکرار ۱۰۰۰۰ نشان داده شده است. همانگونه که در شکل ۸ مشاهده می شود الگوریتم یادگیری L_{RI} در مقایسه با دو الگوریتم یادگیری دیگر دارای سطح کورویشن بالاتر است، به عبارت دیگر ساختار ارتباطی به دست آمده با استفاده از این الگوریتم یادگیری، به ساختار ارتباطی ایده آل نزدیکتر می باشد. بنابراین از الگوریتم یادگیری L_{RI} به منظور تعیین ساختار ارتباطی استناد استفاده می کنیم.



شکل ۸: مقایسه کورویشن الگوریتمهای یادگیری L_{RI} ، L_{REP} و L_{RI} به ازای تعداد استناد ۲۱ و مراحل یادگیری ۱۰۰۰۰

شکل ۹، مقایسه الگوریتم پیشنهادی تعیین ساختار را با الگوریتم ارائه شده در [۱]، [۲]، روش بولن [۸] و روش آماری مطرح شده در [۲]، نشان می دهد. در این آزمایش تعداد کاربران ۲۰۰۰۰، تعداد موضوعات مرتبط با هر سند ۵ و تعداد استناد وب ۲۰ در نظر گرفته شده است. الگوریتم پیشنهادی برای تعیین ساختار استناد وب، بهتر از سایر الگوریتم های ارائه شده مبتنی بر اتوماتای یادگیر، عمل می کند، به علت اینکه دو عامل مهم را در مورد آن لحاظ کرده ایم. اول اینکه تعداد اقدامهای هر اتوماتای یادگیر مطابق با [۱۶]، متغیر درنظر گرفته شده و این باعث می شود که در لحظه فقط زیر مجموعه ای از اقدامهای فعال یک اتوماتا، بروزرسانی شوند. دوم اینکه، ضریب پاداش داده شده به اقدام انتخابی اتوماتا به طور پویا تنظیم می گردد. ترکیب این دو عامل باعث می شود، الگوریتم پیشنهادی نسبت به الگوریتمی که طول بردار اعمال آن برابر با تعداد استناد وب است و در هر لحظه کل بردار اعمال بروز می گردد [۱]، سریعتر همگرا شود. همچنین، الگوریتم ارائه شده به دلیل تنظیم اتوماتیک ضریب پاداش، نسبت به روش مبتنی بر اتوماتای یادگیر با تعداد اقدام های متغیر [۲]، با افزایش تعداد استناد، نیاز به تنظیم مجدد پارامتر یادگیری ندارد. به منظور نمایش یک کران پایین برای کلارایی الگوریتم پیشنهادی، از یک روش آماری ساده، استفاده شده است. در این روش آماری، شباهت دو سند نوぞر به صورت نسبت تعداد دفعاتی که کاربران از سند i به سند j رجوع کرده اند ($(j,i)/N$)، به تعداد دفعاتی که کاربران از سند i به هر سند دیگری مراجعه کرده اند، محاسبه می شود.

$$\text{Similarity}(i, j) = \frac{N(i, j)}{\sum_{k=1}^n N(i, k)} \quad (17)$$



شکل ۹: مقایسه الگوریتم پیشنهادی کشف ساختار ارتباطی با سایر روش‌های گزارش شده

۵-۳- ارزیابی الگوریتم پیشنهادی کشف زیر گراف متصل جهتدار

الگوریتم پیشنهادی کشف زیر گراف متصل جهتدار را بر روی ساختار ارتباطی به دست آمده از بخش ۲-۲ اجرا می کنیم. در این آزمایش تعداد اسناد، تعداد کاربران، تعداد موضوعات موجود در سیستم و تعداد خوشه ها را به ترتیب ۱۰۰، ۵، ۵۰۰۰ و ۵ در نظر گرفتیم. سایر پارامترهای شبیه سازی مطابق جدول ۱ می باشد. برای ارزیابی کارایی الگوریتم پیشنهادی و کیفیت زیر گرافهای خروجی دو معیار $NRatio$ و $ERatio$ را در نظر گرفتیم. این دو معیار به صورت زیر تعریف می شوند.

$$NRatio = \frac{\sum_{j \in H} Nearness(Q, j)}{\sum_{j \in W} Nearness(Q, j)} \quad (18)$$

$$ERatio = \frac{\sum_{(j,l) \in H} Nearness(Q, (j, l))}{\sum_{(j,l) \in W} Nearness(Q, (j, l))} \quad (19)$$

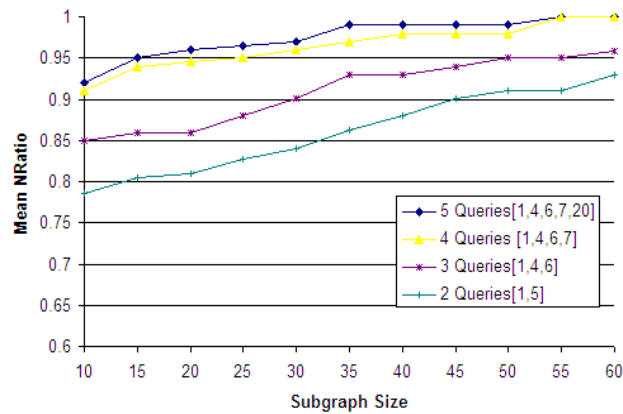
طبقاً رابطه (۱۸) مقدار $NRatio$ از نسبت مجموع درجه ارزش تمام اسناد موجود در زیر گراف خروجی به مجموع درجه ارزش تمام اسناد موجود در گراف اصلی به دست می آید. در رابطه (۱۹) مقدار $ERatio$ از نسبت مجموع درجه ارزش تمام لبه های موجود در زیر گراف خروجی به مجموع درجه ارزش تمام لبه های موجود در گراف اصلی به دست می آید. درجه ارزش لبه (j, l) در مقابل سند پرس وجودی i مطابق رابطه (۲۰) محاسبه می شود.

$$Nearness(i, (j, l)) = \frac{1}{2} \times (Nearness(i, j) \times P_{l,j} + Nearness(i, l) \times P_{j,l}) \quad (20)$$

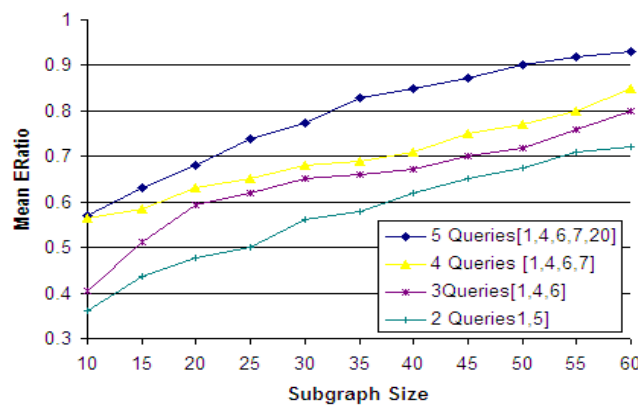
با توجه به رابطه (۲۰)، درجه ارزش لبه (j, l) در مقابل تمام اسناد پرس وجودی (Q) ، مطابق رابطه (۲۱) به دست می آید.

$$Nearness(Q, (j, l)) = \prod_{q_i=1}^Q Nearness(i, (j, l)) \quad (21)$$

دو معیار $ERatio$ و $Nratio$ را بعنوان تابعی از تعداد اسناد میانی در نظر گرفتیم. شکل های ۱۰ و ۱۱، متوسط مقادیر $ERatio$ و $Nratio$ را در مقابل حداکثر تعداد اسناد میانی (b)، به ازای تعداد اسناد پرس وجودی مختلف، نشان می دهد. در هر دو شکل به ازای مقادیر کم b، زیر گراف خروجی، اسناد ولبه هایی با درجه ارزش بالا را شامل می شود. بعنوان مثال در شکل های ۱۰ و ۱۱ به ازای دو سند پرس وجودی ۱۰ و ۵ زیر گراف خروجی با حداکثر تعداد اسناد میانی ۵، بطور متوسط ۹۱٪ اسناد با ارزش ۶۷٪ لبه های با ارزش را شامل می شود، اما به ازای پنج سند پرس وجودی [۲۰ و ۴۰ و ۷۰ و ۱۰] زیر گراف خروجی با حداکثر تعداد اسناد میانی ۲۰، بطور متوسط ۹۶٪ اسناد با ارزش ۶۸٪ لبه های با ارزش را دارا می باشد. این نکته لازم به ذکر است که به ازای تعداد اسناد میانی برابر، زیر گراف خروجی با تعداد اسناد پرس وجودی بیشتر دارای مقادیر $ERatio$ و $Nratio$ بالاتر نسبت به زیر گراف خروجی با تعداد اسناد پرس وجودی کمتر می باشد. همچنین همانطور که در هر دو شکل مشاهده می شود، به ازای تعداد اسناد پرس وجودی متفاوت، با افزایش سایز زیر گراف، کیفیت زیر گراف استخراج شده افزایش می یابد.

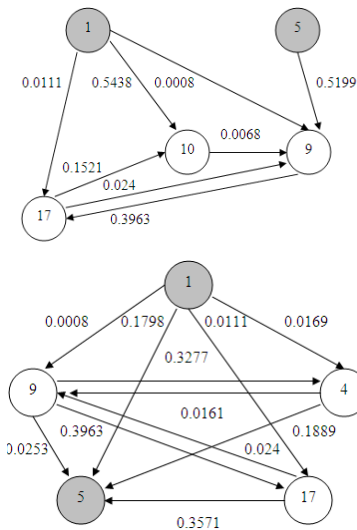


شکل ۱۰: متوسط مقادیر $NRatio$ در مقابل حداکثر تعداد استنادمیانی (b) برای تعداد استناد ۱۰۰ به ازای تعداد استنادپرس وجودی مختلف روی داده های مدل



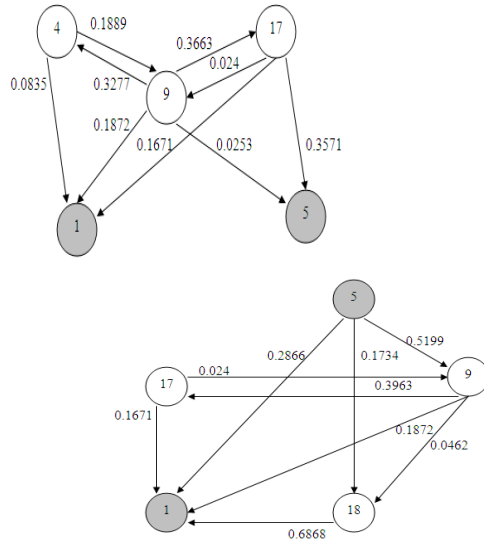
شکل ۱۱: متوسط مقادیر $ERatio$ در مقابل حداکثر تعداد استناد ۱۰۰ و به ازای تعداد استنادپرس وجودی مختلف روی داده های مدل

شکل ۱۱، نتیجه اجرای الگوریتم پیشنهادی کشف زیر گراف را برای ۲۰ سند وب و حداکثر تعداد استناد میانی ۵ نشان می دهد. در این آزمایش استناد ۱ و ۵ را بعنوان استناد پرس وجودی انتخاب نمودیم. همانطور که در شکل ۱۲ نشان داده شده است به ازای تنظیم مقادیر مختلف *Flag*, انواع زیر گرافها که ارتباط دو سندپرس وجودی ۱ و ۵ را مشخص می کنند، استخراج می شوند.



ب. [+, -]

الف. [-, +]



شکل ۱۲: زیر گراف کشف شده بین دو سند پرس وجودی ۱۰۵ به ازای تنظیم مقادیر مختلف *Flag*

جدول ۲، نتایج اجرای الگوریتم پیشنهادی کشف زیر گراف را بدون اعمال روش خوش بندی، به ازای استاد پرس وجودی [۷,۶,۴,۱] نشان می دهد. در این آزمایش یک گراف با ۵۵ سند و ۱۰۰۰ کاربر مطابق مدل [۱۳] ایجاد نمودیم و حداقل تعداد استاد میانی را ۱۰ در نظر گرفتیم.

جدول ۲: نتیجه اجرای الگوریتم کشف زیر گراف بر روی مدل [۱۳]، به ازای استاد پرس وجودی [۷,۶,۴,۱]

| Flag | NRatio | ERatio | Running Time(s) | Nodes in Subgraph |
|---------------|--------|--------|-----------------|---|
| [+1,+1,-1,-1] | 0.904 | 0.287 | 61.28 | [1, 4, 6, 7, 9, 10, 13, 19, 25, 32, 38, 41, 50] |
| [+1,+1,-1,+1] | 0.985 | 0.89 | 64.36 | [1, 3, 4, 6, 7, 22, 33, 47, 52, 53] |
| [-1,-1,-1,+1] | 0.62 | 0.35 | 62.68 | [1, 2, 3, 4, 6, 7, 23, 26, 42, 50, 52] |
| [-1,-1,-1,-1] | 0.63 | 0.23 | 61.52 | [1, 2, 3, 4, 6, 7, 8, 12, 13, 33, 36, 39, 45] |
| [-1,-1,+1,-1] | 0.67 | 0.30 | 62.32 | [1, 2, 3, 4, 6, 7, 9, 12, 22, 32, 33, 42, 52, 53] |
| [-1,+1,+1,-1] | 0.64 | 0.26 | 65.25 | [1, 2, 4, 6, 7, 9, 12, 20, 42, 52] |
| [+1,+1,+1,-1] | 0.936 | 0.70 | 65.22 | [1, 2, 4, 6, 7, 12, 33, 36, 51, 52] |
| [-1,+1,-1,+1] | 0.70 | 0.30 | 62.76 | [1, 2, 4, 6, 7, 9, 13, 20, 27, 32, 38, 47, 53] |
| [+1,+1,+1,+1] | 0.99 | 0.87 | 62.98 | [1, 3, 4, 6, 7, 9, 20, 27, 42, 47] |
| [+1,-1,+1,+1] | 0.96 | 0.92 | 62.51 | [1, 3, 4, 6, 7, 12, 20, 26, 27, 42, 53] |
| [+1,-1,-1,-1] | 0.86 | 0.22 | 62.90 | [1, 3, 4, 6, 7, 9, 20, 33, 36, 38] |
| [+1,-1,-1,+1] | 0.907 | 0.524 | 62.42 | [1, 3, 4, 6, 7, 13, 22, 42, 52, 53] |
| [+1,-1,+1,-1] | 0.91 | 0.42 | 62.71 | [1, 2, 3, 4, 6, 7, 20, 23, 41, 42, 52] |
| [-1,+1,-1,-1] | 0.976 | 0.68 | 65.17 | [1, 2, 3, 4, 6, 7, 9, 10, 25, 34, 42] |
| [-1,+1,+1,+1] | 0.98 | 0.93 | 62.75 | [1, 2, 3, 4, 6, 7, 15, 20, 23, 42] |
| [-1,-1,+1,+1] | 0.45 | 0.27 | 62.56 | [1, 2, 3, 4, 6, 7, 13, 27, 41, 50] |

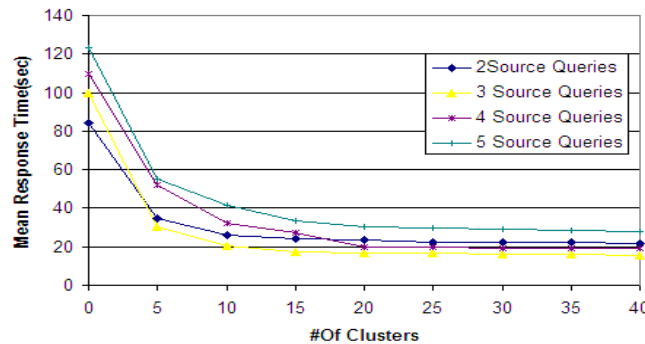
به منظور بررسی تأثیر خوشه بندی استاد وب بر روی سرعت اجرای الگوریتم پیشنهادی کشف زیر گراف، آزمایش دیگری انجام شد. در این آزمایش نحوه پیمایش ۲۰۰۰ کاربر را از ۱۰۰ سند با استفاده از مدل استخراج نموده و الگوریتم پیشنهادی را بدون اعمال روش خوشه بندی بر روی کل گراف وب اجرا کردیم. حداکثر تعداد استاد میانی را ۲۰ مقادیر آرایه *Flag* را به ازای تمام استاد پرس و جو + در نظر گرفتیم. برای مقایسه کیفیت زیر گراف های خروجی با بکارگیری روش خوشه بندی و بدون اعمال آن، از معیار *Relratio* استفاده شده است. این معیار طبق رابطه (۲۲) محاسبه می شود.

$$\text{Re } lRatio = \frac{N\hat{Ratio}}{NRatio} \quad (22)$$

در عبارت بالا منظور از *NRatio* و *N \hat{Ratio}* به ترتیب کیفیت زیر گراف خروجی با بکارگیری و بدون بکارگیری روش خوشه بندی روی گراف وب می باشد. شکل ۱۳، متوسط مقادیر *RelRatio* را به ازای تعداد خوشه های متفاوت و برای استاد پرس وجودی مختلف نشان می دهد. همانطور که در شکل ۱۳، نشان داده شده است، بدیهی است که با افزایش تعداد خوشه ها کیفیت زیر گراف خروجی که با اعمال روش خوشه بندی حاصل شده کاهش می یابد، به دلیل اینکه با افزایش تعداد خوشه ها، احتمال از دست دادن استاد با درجه ارزش بالا که در خوشه های انتخابی (خوشه هایی که استاد پرس وجود در آن قرار دارند) وجود ندارند، بیشتر می شود. اما در قبال از دست دادن درصدی از کیفیت زیر گراف، افزایش سرعت چشمگیری در اجرای الگوریتم کشف زیر گراف مشاهده می شود. همانطور که در شکل ۱۴، نشان داده شده است در ازای تعداد خوشه های کم، متوسط زمان اجرای الگوریتم پیشنهادی کشف زیر گراف متصل بشدت کاهش می یابد.

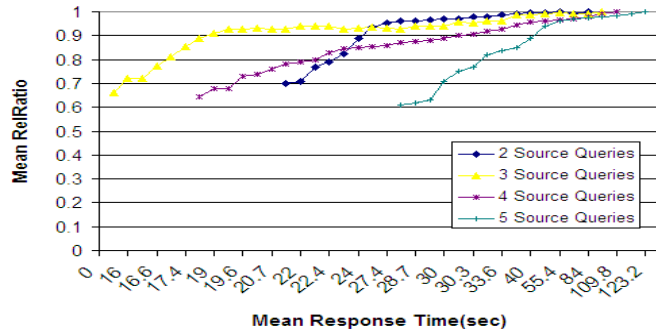


شکل ۱۳: ارزیابی کیفیت روش پیشنهادی برای کشف زیر گراف متصل به ازای استاد پرس وجودی مختلف



شکل ۱۴: بررسی تأثیر تعداد خوشه ها در متوسط زمان اجرای الگوریتم پیشنهادی کشف زیر گراف متصل

شکل ۱۵، متوسط مقادیر *RelRatio* را به ازای متوسط زمان پاسخ نشان می دهد. همانطور که در شکل مشاهده می شود با از دست دادن یک میزان کم از کیفیت زیر گراف، پرسه زمان پاسخ بسرعت کاهش می یابد. برای مثال با از دست دادن تقریباً ۱۱٪ کیفیت، زیر گراف خروجی به ازای ۲ گره پرس وجود بطور متوسط در مدت زمان ۲۴ ثانیه و به ازای ۵ گره پرس وجود در مدت زمان ۴۰ ثانیه ایجاد می شود، در حالیکه بدون استفاده از روش خوشه بندی در الگوریتم پیشنهادی زیر گراف، مدت زمان اجرا به ازای این پرس وجودها به ترتیب ۸۴ و ۱۲۳ ثانیه می باشد.



شکل ۱۵: متوسط مقادیر *RelRatio* در مقابل متوسط زمان پاسخ

نتیجه گیری

در این مقاله ابتدا یک الگوریتم جدید مبتنی بر اتوماتای یادگیر توزیع شده برای تعیین ساختار ارتباطی بین استناد وب پیشنهاد گردید، ساختار ارتباطی پیشنهادی به علت استفاده از اتوماتاهای یادگیر با تعداد اقدامهای متغیر و نحوه تخصیص دینامیک ضریب پاداش به اقدام انتخابی اتوماتا، نسبت به سایر روش‌های موجود دارای کارایی بالاتری می‌باشد. در مرحله بعد با استفاده از ساختار ارتباطی حاصل و روش خوشه‌بندی *kmeans* جدید برای کشف زیر گرافهای متصل جهت‌دار مبتنی بر در خواست کاربر ارائه شد. الگوریتم پیشنهادی کشف زیر گراف متصل به دلیل استفاده همزمان از ساختار پیوندی و نحوه استفاده کاربران از استناد در ایجاد زیر گرافهای با کیفیت بالاتر مؤثر است، همچنین به دلیل استفاده از تکنیک خوشه‌بندی استناد، الگوریتم پیشنهادی کشف زیر گراف متصل دارای سرعت بالایی می‌باشد. از زیر گرافهای کشف شده می‌توان جهت شناسایی اجتماعات گوناگون وب، هدایت بهتر کاربران در امر جستجو و پیشنهاد استناد مشابه با یک سند بر اساس علاقه کاربر استفاده نمود. با استفاده از زیر گرافهای حاصل می‌توان الگوریتم‌های کاوش وب مبتنی بر پرس و جوی کاربر را سازماندهی نمود و در امر شخصی سازی وب بکار برد، این راهکار به عنوان محور اصلی مطالعات بعدی مد نظر قرار می‌گیرد. در انتهای این مقاله نتایج شبیه سازی ها و ارزیابی کیفیت زیر گرافهای به دست آمده توسط روش پیشنهادی را بر روی داده‌های مدل نشان دادیم.

مراجع

- [۱] اناری، بابک؛ مبدی، محمدرضا؛ "یک روش مبتنی بر اتوماتای یادگیر توزیع شده برای تعیین ساختار استناد وب"، مجموعه مقالات دوازدهمین کنفرانس بین المللی انجمن کامپیوتر ایران، تهران، ایران، ۱۳۸۵.
- [۲] Baradaran hashemi, A.; Meybodi, M. R.; "Web Usage Mining Using Distributed Learning Automata", Computer Engineering Department, Technical Report, ۲۰۰۵.
- [۳] Beigy, H.; Meybodi, M. R.; "A New Distributed Learning Automata Based Algorithm For Solving Stochastic Shortest Path Problem", Proceedings of the Sixth International Joint Conference on Information Science, Durham, USA, pp. ۳۴۹- ۳۴۳, ۲۰۰۲.
- [۴] Cutting, D. R.; Karger, D. R.; Pedersen, J. O.; Tukey, J. W.; "Scatter/Gather: A Cluster-based Approach to Browsing Large Document Collections", proceedings of the 15th Annual International ACM SIGIR Conference on Research and Development in Information Retrieval, Copenhagen, Denmark, pp. ۳۱۸-۳۲۹, June ۲۱-۲۴, ۱۹۹۲.
- [۵] Doyle, P.; Snell, J.; "Random walks and electric networks", Mathematical Association America, New York, ۱۹۸۴.
- [۶] Dubes, R. C.; Jain, A. K.; *Algorithms for Clustering Data*, Prentice Hall, New York, ۱۹۸۸.
- [۷] Faloutsos, C.; McCurley, K. S.; Tomkins, A.; "Fast Discovery of Connection Subgraphs", Proceedings of the 10th ACM SIGKDD International Conference on Knowledge Discovery and Data Mining, Seattle, Washington, USA, pp. ۱۱۸-۱۲۷, August ۲۲-۲۵, ۲۰۰۴.
- [۸] Heylighen, F.; Bollen, J.; "Hebbian Algorithms for a Digital Library Recommendation System", Proceedings of the International Conference on Parallel Processing Workshops (ICPPW'۰۲), Vancouver, pp. ۴۳۹-۴۴۶, Aguest ۱۸-۲۱, ۲۰۰۲.

- [⁸] Jain, A. K.; Murty, M. N.; Flynn, P. J.; “*Data Clustering: A Review*”, ACM Computing Surveys, vol. 31, no. 3, pp. 344-390, 1999.
- [¹⁰] Kanungo, T.; Netanyahu, N. S.; Piatko, C. D.; Silverman, R.; “*An Efficient k-Means Clustering Algorithm: Analysis and Implementation*”, IEEE Transactions on Pattern Analysis and Machine Intelligence, vol. 24, no. 7, pp. 1101-1113, 2002.
- [¹¹] Kaufman, L.; Rousseeuw, P. J.; *Finding Groups in Data: an Introduction to Cluster Analysis*, John Wiley and Sons, 1990.
- [¹²] Koren, Y.; North, S. C.; Volinsky, C.; “*Measuring and Extracting Proximity in Networks*”, Proceedings of the 11th ACM SIGKDD International Conference on Knowledge Discovery and Data Mining, Pennsylvania, USA., pp. 242-250, 2005.
- [¹³] Liu, J.; Zhang, S.; Yang, J.; “*Characterizing Web Usage Regularities with Information Foraging Agents*”, IEEE Transactions on Knowledge and Data Engineering, vol. 17, no. 4, pp. 516-528, April 2005.
- [¹⁴] Narendra, K. S.; Thathachar, M. A. L.; *Learning Automata: An Introduction*, Prentice Hall, 1989.
- [¹⁵] Saati, S.; Meybodi, M. R.; “*A Self Organizing Model for Document Structure Using Distributed Learning Automata*”, Proceedings of the Second International Conference on Information and Knowledge Technology (IKT 2000), Tehran, Iran, May 24-26, 2000.
- [¹⁶] Thathachar, M. A. L.; Bhaskar, R. H.; “*Learning Automata with Changing Number of Actions*”, IEEE Transactions on Systems Man and Cybernetics, vol. 18, no. 1, pp. 109-110, Nov. 1988.
- [¹⁷] Tong, H.; Faloutsos, C.; Pan, J.; “*Fast RandomWalk with Restart and Its Applications*”, Proceeding of the 7th IEEE International Conference on Data Mining, Hong-Kong, China, pp. 713-722, Dec. 18-22, 2007.
- [¹⁸] Tong, H.; Faloutsos, C.; “*Center-piece Subgraphs: Problem Definition and Fast Solutions*”, Proceeding of the 11th ACM SIGKDD International Conference on Knowledge Discovery and Data Mining, Philadelphia, USA, pp. 44-53, August 20-23, 2005.
- [¹⁹] Zamir, O.; Etzioni, O.; Madani, O.; Karp, R. M.; “*Fast and Intuitive Clustering of Web Documents*”, The Proceedings of the 11th International Conference on Knowledge Discovery and Data Mining, USA, pp. 187-190, 1995.